

01; 05

© 1990 г.

## ЭЛЕКТРОПРОВОДНОСТЬ ПОРИСТЫХ СРЕД ПРИ ДЕФОРМАЦИЯХ СЖАТИЯ

Е. Г. Фатеев

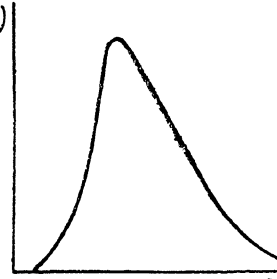
На основе усредненного рассмотрения частиц пористой среды и микропор, а также в приближении объемно-пластического течения найдена зависимость относительной проводимости от усилия при деформации сжатия. Приведены экспериментальные данные, подтверждающие расчет.

Исследованию электропроводности пористых сред при деформациях сжатия уделяется недостаточное внимание. Однако, как будет показано в данной работе, по проводимости пористых сред при их сжатии можно определить относительную плотность. Зная характерный размер частиц среды, легко определить среднюю площадь контакта между ними и объем микропор при сжатии.

Вопросам описания пористых структур и протеканию в них процессов переноса газовых и жидкких сред, проводимости насыщенных электролитами рыхлых тел в последнее время посвящен ряд работ [1, 2].

Эти работы проведены по преимуществу в рамках теории фракталов [3–5]. Решать задачу электропроводности пористых сред при деформациях сжатия в рамках этой теории затруднительно. Действительно, фрактальные модели предполагают малую сжимаемость и незначительные деформации частиц среды, а растрескиванием и образованием новых частиц пренебрегают, иначе нарушается скейлинговая область распределения частиц по размерам, в рамках которого работает это приближение. Считается, что «скелет» среды остается неизменно заданным, а изменение распределения частиц и пор по размерам проводится итерационно с добавлением «новых» частиц скелета [1].

Рис. 1. Распределение числа частиц по размерам в реальных пористых средах.



Реально невозможно определить, с какими параметрами «рождаются» частицы при непредсказуемых в каждой точке среды упруго-пластических деформациях, когда характерный скелет пористой структуры не сохраняется. В этом случае удобно использовать статистическое рассмотрение среды с частицами и порами, не имеющими строгой геометричности форм. Распределение частиц по размерам в реальной пористой среде имеет вид, показанный на рис. 1 [6]. В пористых структурах частички образуют между собой разнообразные по форме контакты, изменяющиеся при деформациях и по существу определяющие проводимость. Далее попытаемся связать общую площадь контактов частиц среды в любом постоянном по форме сечении пористого тела (сечение проводимости) с изменением при сжатии его объема.

Рассмотрим частицу среды произвольной геометрии. Вокруг любой частицы всегда можно описать определенную пространственную фигуру так, чтобы сумма объемов описанных фигур совпадала с объемом исследуемого пространства пористой среды. Причем всегда можно подобрать такие фигуры произвольной формы, чтобы сумма площадей несоприкасаемых поверхностей опи-

санных фигур была равна нулю. Таким образом, описанное пространство и будем далее рассматривать статистически. Простым усреднением по характерным размерам объемов описанных около частиц и их форм при вариации физических условий сведем реальное распределение частиц к линейному со средним характерным размером описанных объемов (рис. 2)

$$\langle l_1 \rangle = \int_0^{\infty} \int \int l f_1(l, \xi, p) dld\xi dp,$$

где  $f_1(l, \xi, p)$  — функция совместной плотности распределения, нормирующейся на единицу, характеризующая распределение по размерам  $l$  и формам  $\xi$  описанных объемов при физических условиях  $p$  (т. е. при изменении параметра сжатия):

Аналогично определяется характерный размер свободного микрообъема (объем пор, приходящийся на одну частицу пористой среды) через функцию совместной плотности распределения для свободных микрообъемов. В прин-

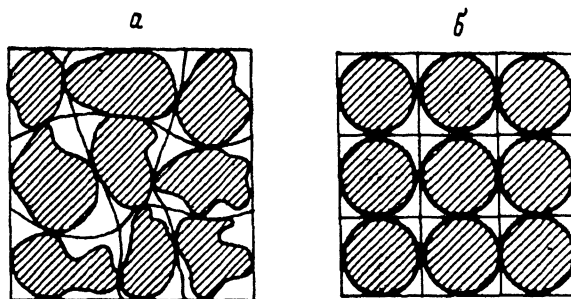


Рис. 2. Фрагменты сечений реального пористого тела с контурами объемов, описанных вокруг частиц (a), усредненного по параметрам пористого тела (б).

ципе характерные размеры микрообъемов, описанных около частиц, и свободные микрообъемы можно рассчитать в эллипсоидальном приближении [7].

Усреднение позволит избавиться от непроизводительных расчетов в дальнейшем при нахождении среднестатистической площади межчастичных контактов. По определению

$$\langle v_1 \rangle = \langle l_1^3 \rangle, \quad \langle v_2 \rangle = \langle l_2^3 \rangle, \quad (1)$$

где  $\langle v_1 \rangle$  — характерный размер микрообъема, описанного около частицы среды при физических условиях  $p$ ;  $\langle v_2 \rangle$  — характерный объем микропоры.

Свободный объем для всей пористой среды определяется следующим образом:

$$V_2 = V - V_0, \quad (2)$$

где  $V$  — объем исследуемой среды при физических условиях  $p$ ;  $V_0$  — критический объем исследуемой среды, при котором полностью схлопываются поровые пространства, но еще не нарушается характерная молекулярная структура исходного вещества.

По определению,

$$V = N \langle v_1 \rangle, \quad V_2 = N \langle v_2 \rangle, \quad (3)$$

где  $N$  — количество частиц в исследуемом объеме сжимаемой среды.

Очевидно, что в любом постоянном по форме сечении образца среды (есть сечения, в которых при изменении физических условий форма не сохраняется) площади сечения описанного объема и для свободного микрообъема определяются

$$\langle s_1 \rangle = \langle l_1^2 \rangle, \quad \langle s_2 \rangle = \langle l_2^2 \rangle. \quad (4)$$

Из (1), (3) и (4) имеем

$$\langle s_1 \rangle = \left( \frac{V}{N} \right)^{2/3}, \quad \langle s_2 \rangle = \left( \frac{V_2}{N} \right)^{2/3}.$$

Тогда сечение проводимости характерного микрообъёма имеет вид

$$\langle s \rangle = \langle s_1 \rangle - \langle s_2 \rangle.$$

Перейдем от микросечений к макросечению проводимости  $S$ , определив количество характерных частиц в слое толщиной  $\langle l_1 \rangle$ , следующим образом:

$$n = \frac{S_0}{\langle l_1^3 \rangle},$$

где  $S_0$  — площадь постоянного по форме сечения образца пористой среды.

Соотношение, связывающее макросечение проводимости со свободным и полным объемами пористого тела, имеет следующий вид:

$$S = n \langle s \rangle = S_0 \left( 1 - \frac{\langle s_2 \rangle}{\langle s_1 \rangle} \right) = S_0 \left[ 1 - \left( \frac{V_2}{V} \right)^{2/3} \right].$$

Или с учетом (2) получим

$$S = S_0 \left[ 1 - \left( 1 - \frac{V_0}{V} \right)^{2/3} \right]. \quad (5)$$

Таким образом, в предельных случаях, когда  $V_2 \rightarrow 0$ , сечение проводимости стремится к максимально возможному  $S \rightarrow S_0$ , а при  $V_2 \rightarrow V$ ,  $S \rightarrow 0$  смесь находится во взвешенном состоянии.

### Пористые среды при деформациях сжатия

При воздействии на пористые среды давлением штампа смеси деформируются, изменяется пластичность частиц и скольжение их относительно друг друга. В процессе деформаций изменяется одночастичное и полное сечение проводимости. Далее покажем, как можно связать электрическую проводимость с деформациями пористого тела.

Так как в процессе действия давления на пористую среду она упругопластично деформируется, то применение существующих положений механики затруднено. Действительно, в задачах механики деформации ограничены линейным участком, а вязкоупругие примеры решены только в самых простых случаях [8, 9]. Ояне в своей работе [10] предложил для описания деформаций пористых сред уравнение пластичности. Уравнение текучести предложено им в виде, удобном для коррекции по экспериментальным данным,

$$\sigma_0 = \left( \frac{1}{6} \right) \left\{ \frac{1}{2} \left[ (\varepsilon_1 - \varepsilon_2)^2 + (\varepsilon_2 - \varepsilon_3)^2 + (\varepsilon_1 - \varepsilon_3)^2 + \left( \frac{\sigma_m}{F} \right)^2 \right] \right\}^{1/2}, \quad (6)$$

где  $\sigma_0$  — предел текучести материала частицы пористой среды,  $\sigma_m$  — гидростатическая компонента напряжения на исследуемое тело, причем она определяется

$$\varepsilon_m = \frac{1}{3} (\varepsilon_1 + \varepsilon_2 + \varepsilon_3).$$

Параметр  $F$  представляет собой положительную функцию относительной плотности

$$\Theta = \frac{V_0}{V},$$

удовлетворяющую предельному условию  $\Theta \rightarrow 1$  и  $F \rightarrow \infty$ . В качестве  $F$  в работе [11] предложено

$$F = \frac{1}{2\sqrt{1-\Theta}}. \quad (7)$$

В случае осевой деформации можно положить  $\sigma_1 = \sigma_2 = 0$ , тогда выражение (6) упрощается

$$|\sigma_3| = \left(1 + \frac{1}{9F^2}\right)^{-\frac{1}{2}} \sigma_0 \Theta. \quad (8)$$

С учетом (7) выражение (8) преобразуется к виду

$$P = P_0 \Theta \left[1 + \frac{4}{9}(1 - \Theta)\right]^{-\frac{1}{2}}. \quad (9)$$

Далее будем пренебречь противодавлением сорбированных в порошке газов, освобождающихся при деформациях [12]. Будем пренебречь и переносом носителей тока через газовую фазу поровых пространств. Кроме того, не будут учитываться и эффекты, связанные с взаимодиффузией элементов частиц смеси; как показано в работе [13], этот механизм роста контактов не является определяющим при деформациях. Процесс деформации будет считаться изотермическим, т. е. скорость сжатия очень маленькая, а теплоотвод через наковальни большой. Пренебрегаем и возможным допингом носителей тока из материала электродов — деформаторов, а также межчастичным контактным сопротивлением. Тогда проводимость исследуемого пористого тела определяется просто

$$G = g \frac{S}{L}, \quad G_0 = g \frac{S_0}{L_0}, \quad (10)$$

где  $g$  — удельная проводимость материала, из которого получена пористая среда (считаем что  $g = \text{const}$  на всем этапе деформации сжатия среды до деформационного спекания смеси в монолит);  $L = V/S_0$  и  $L_0 = V_0/S_0$  — толщины тела в осевом направлении при деформации и критическая соответственно. Далее, сравнивая отношение  $S$  и  $S_0$  с формулой (5), найдем соотношение, связывающее относительную плотность среды с относительной проводимостью,

$$\frac{G}{G_0} = \Theta [1 - (1 - \Theta)^{\frac{1}{2}}]. \quad (11)$$

Решая совместно (9) и (11), получим следующее выражение:

$$\frac{G}{G_0} = \frac{P}{P_0} [1 - (1 - \Theta)^{\frac{1}{2}}] \left[1 + \frac{4}{9}(1 - \Theta)\right]^{\frac{1}{2}}.$$

Решение квадратного уравнения (9) относительно  $(1 - \Theta)$  имеет вид

$$A = 1 - \Theta = 1 - \frac{1}{3} \left(\frac{P}{P_0}\right)^2 \left[\sqrt{\frac{4}{9} + 13 \left(\frac{P_0}{P}\right)^2} - \frac{2}{3}\right]. \quad (12)$$

Таким образом, интересующая нас зависимость проводимости пористого тела от прилагаемого контактного давления запишется

$$\frac{G}{G_0} = \frac{P}{P_0} [1 - A^{\frac{1}{2}}] \left[1 + \frac{4}{9} A\right]^{\frac{1}{2}}. \quad (13)$$

Из выражения (13) вытекает, что функция проводимости от давления не определяется геометрическими параметрами частиц пористого тела в пределах сделанных допущений и необходимо знать лишь предельные значения  $P_0$  и  $G_0$ . В точке  $(P_0, G_0)$  пористое тело имеет максимальную плотность и соответствует монолитному состоянию. Очевидно, в этой точке ход зависимости  $G(P)$  должен качественно измениться. Место перегиба будет служить ориентиром при выборе реперных точек  $P_0$  и  $G_0$ . Можно считать, что при деформациях пористых сред до предельных значений  $P_0$  и  $G_0$  не нарушается молекулярная структура исходного вещества. Таким образом, зная значение проводимости для монолитного образца до измельчения, можно найти проводимость пористой среды в процессе деформации сжатия. Очевидно, критическое давление  $P_0$  определяется внутренним строением монолитного образца, из которого получено пористое тело.

Из формул (10)–(13) легко определяются следующие параметры: сечение проводимости  $S(P)$ , относительная плотность пористого тела и пористость исследуемого образца.

### Сравнение с экспериментами

С целью проверки полученных выше зависимостей проводимости пористых тел от степени деформации сжатия были выполнены эксперименты. У исходного материала определялась проводимость, затем он подвергался диспергации. Порошок помещался между наковальнями так, чтобы вещество не вытекало за пределы рабочей части наковален. Проводимость пористого тела при сжатии измерялась через электроды — деформаторы (наковальни). Погрешность при измерениях давления на наковальнях составляла  $\Delta P = \pm 3 \cdot 10^{-2}$  ГПа.

На рис. 3, а, б представлены зависимости относительной проводимости от

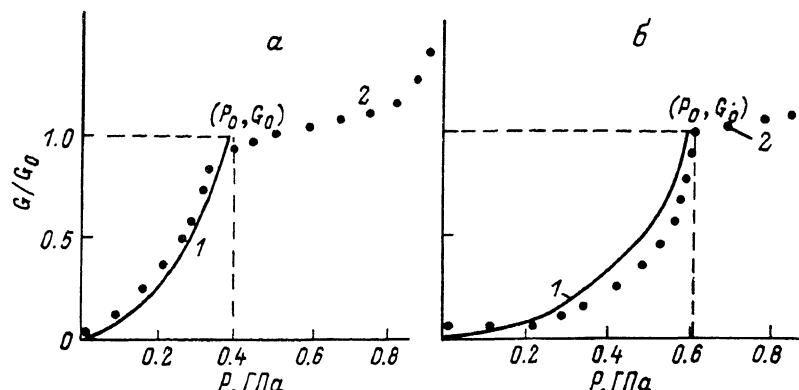


Рис. 3. Зависимость относительной проводимости от сжатия порошков сплавов  $As_2Se_3$  (а) и  $NaCl$  (б) с критической точкой перехода пористое тело — монолит.

$P_0$ , ГПа: а — 0,6, б — 0,4;  $G_0$ ,  $\Omega^{-1} \cdot M$ : а —  $2 \cdot 10^{-8}$ , б —  $1,2 \cdot 10^{-10}$ ; 1 — расчет по формуле (13), 2 — экспериментальная зависимость.

усилия сжатия пористых тел, полученных из полупроводникового сплава  $As_2Se_3$  и соли  $NaCl$ . Для этих материалов в точке перехода пористое тело — монолит четко проявляется изменение характера кривой зависимости  $G(P)$ . При деформациях сжатия в пористых телах идут конкурирующие процессы дальнейшего измельчения и синтеза частиц в монолите. Процессы измельчения и синтеза определяются внутримолекулярными силами притяжения и отталкивания. Силы таких взаимодействий в различных веществах отличаются, что отражается на ходе соответствующих зависимостей, но в данной работе учесть характер конкретного материала не представляется возможным. Однако сравнение экспериментальных данных с расчетными показывает удовлетворительную сходимость результатов, позволяющих сделать вывод о возможности практического применения расчетов.

Автор глубоко благодарен В. Н. Чуканову и В. П. Хану за полезные советы и обсуждение результатов работы.

### Список литературы

- [1] Молосов А. Б., Динарев О. Ю. // ЖТФ. 1987. Т. 57. Вып. 9. С. 1679—1685.
- [2] Ромм Е. С. Структурные модели порового пространства горных пород. Л.: Недра, 1985. 240 с.
- [3] Stanley E. H. // J. Statist. Phys. 1984. Vol. 36. N 5/6. P. 843—860.
- [4] Mandelbrot B. B. Fractals. Form, Chance and Dimension. San Francisco: Freeman W. H., 1977. 283 p.
- [5] Зельдович Я. Б., Соколов Д. Д. // УФН. 1985. Т. 146. № 3. С. 493—506.
- [6] Arakawa M., Yokoymata T., Yamaguchi T., Minami K. // Soc. Mater. Sci. Jap. 1983. N 360. P. 966—970.
- [7] Черняевский К. С. Стереология в материаловедении. М.: Металлургия, 1977. 277 с.
- [8] Галин Л. А. Контактные задачи теории упругости и вязкоупругости. М.: Наука, 1980. 303 с.
- [9] Галин Л. А. Упругопластические задачи. М.: Наука, 1984. 232 с.

- [10] *Oyane M., Shima H.* // Int. J. Mech. Sci., 1976. Vol. 18. N 6. P. 285—291.
- [11] *Богоявленский К. Н., Кузнецов П. А., Мертенс К. К.* Высокоскоростные способы прессования деталей из порошковых материалов. Л.: Машиностроение, 1984. 168 с.
- [12] *Ивченко В. А.* Феноменология спекания и некоторые вопросы теории. М.: Металлургия, 1985. 247 с.
- [13] *Скорогод В. В., Верменко Л. А., Гетьман О. И., Ракитин С. П.* Порошковая металлургия, 1987. № 6. С. 20—28.

Физико-технический институт  
со специальным конструкторским бюро  
и опытным производством АН СССР  
Уральский научный центр  
г. Ижевск

Поступило в Редакцию  
10 февраля 1989 г.